

УДК: 539.194

## ИССЛЕДОВАНИЕ ТОНКОЙ СТРУКТУРЫ ПОЛОСЫ АМИД I ИК ФУРЬЕ СПЕКТРА КОЛЛАГЕНА

**Е.П. Мележик<sup>1</sup>, М.А. Семенов<sup>1</sup>, А.Ю. Иванов<sup>2</sup>**

<sup>1</sup>Институт радиофизики и электроники НАН Украины, ул. Академика Проскуры 12, 61085, Харьков

<sup>2</sup>Физико-технический институт низких температур им. Б.И. Веркина НАН Украины, пр. Ленина 47, 61103, Харьков  
e-mail: upmelezik@ms.org.ua

Статья поступила в редакцию 1 апреля 2005 г.

Проведен расчет частотных сдвигов валентных колебаний CO - групп, вызванных динамическим резонансным взаимодействием карбонильных колебаний атомов в коллагеновых структурах (Gly-Pro-Hyp)<sub>2</sub>-Gly-Phe-Hyp-Gly-Glu-Arg-(Gly-Pro-Hyp)<sub>3</sub> и (Pro-Hyp Gly)<sub>3</sub>-Ile-Thr-Gly-Ala-Arg-Gly-Leu-Ala-Gly-(Pro-Hyp-Gly)<sub>4</sub> в диполь-дипольном приближении на основании теории молекулярных экзитонов. Рассчитаны спектральные параметры основных компонентов тонкой структуры полосы Амид I ИК Фурье спектра природного коллагена и сделаны их отнесения.

**КЛЮЧЕВЫЕ СЛОВА:** коллаген, резонансное взаимодействие, диполь-дипольное приближение, ИК Фурье спектроскопия, Амид I

Коллаген принадлежит к классу фибрillлярных белков и составляет основу межклеточного вещества соединительной ткани. Мономерные единицы коллагеновых фибрилл, молекулы тропоколлагена, представляют собой правые тройные суперспирали, скрученные из трёх первичных левых спиралей, аминокислотные остатки которых сдвинуты и повернуты относительно друг друга. В качестве модели коллагена используется полипептид, состоящий из повторяющихся последовательностей аминокислот глицина – пролина – пролин либо глицина – пролин – гидроксипролин. При этом принято нумеровать атомы глицина индексом 1, пролина – индексом 2, и гидроксипролина (или пролина, стоящего в 3-м положении) – индексом 3. Такой полипептид образует тройную суперспираль, параметры которой соответствуют параметрам спирали природного коллагена [1].

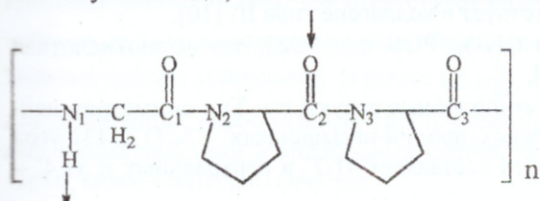
Стабилизация тройной спирали молекулы полипептида, как и тропоколлагена, достигается с помощью межпептидных водородных связей, образующихся между N<sub>1</sub>H<sub>1</sub> – группами глицина одной цепи и C<sub>2</sub>O<sub>2</sub> – группами соседней полипептидной цепи (рис. 1). Группы C<sub>1</sub>O<sub>1</sub> и C<sub>3</sub>O<sub>3</sub> образуют водородные связи с молекулами воды, что также вносит значительный вклад в стабилизацию тройной суперспирали [2, 3].

В отличие от модельного полипептида, у природного коллагена наблюдается замещение значительной части иминокислотных остатков пролина и гидроксипролина различными аминокислотами, при этом выделяются иминокислотно-дефицитные и иминокислотно-насыщенные участки коллагеновой молекулы, параметры спирали в которых несколько отличаются [1].

Рис.1. Структура полипептида (Gly<sub>1</sub>-Pro<sub>2</sub>-Pro<sub>3</sub>)<sub>n</sub>. Стрелками обозначена межпептидная водородная связь.

Разнообразие аминокислотных остатков в природном коллагене и особенности структуры водородных связей в разных участках коллагеновой молекулы приводят к тому, что как форма, так и полуширина основных полос ИК спектра природного коллагена и полипептида poly(Gly-Pro-Pro) значительно отличаются друг от друга [4].

Полоса Амид I, являющаяся наиболее сильной в инфракрасных спектрах поглощения полипептидов и белков, обусловлена, в основном, валентными колебаниями C=O – связей в составе пептидных групп. Эта полоса характеристична по частоте и интенсивности и очень чувствительна к изменению структурного состояния полипептидной цепи. По тонкой структуре полосы Амид I можно судить о наличии в молекуле белка спиральной, складчатой структуры, неупорядоченной конформации, а по интегральной интенсивности – определять их количественное содержание [5, 6, 7]. Однако для коллагеновых белков такие спектральные признаки не найдены. Строгие отнесения различных компонент полосы Амид I сделаны только для модельных коллагеновых пептидов, в которых отсутствует замещение пролина и гидроксипролина в положениях 2 и 3 другими аминокислотами [4].



В работе [8] был разработан алгоритм расчета частот валентных колебаний карбонильных групп в модельном коллагеновом пептиде poly(PRO-PRO-GLY) в диполь-дипольном приближении на основании теории молекулярных экситонов. При этом частота перехода рассчитывалась на основании значений частоты колебания данной группы в изолированной молекуле и частотных сдвигов, вызванных образованием водородных связей и обусловленных динамическим резонансным взаимодействием моментов переходов карбонильных колебаний.

Цель данной работы: с использованием разработанного алгоритма рассчитать резонансные сдвиги карбонильных колебаний и частоты компонент полосы Амид I природного коллагена и выполнить отнесения этих компонент.

## МАТЕРИАЛЫ И МЕТОДЫ

**Материалы.** В работе использовался коллаген типа I, выделенный из кожи теленка, лиофилизованный, кислотнорастворимый; производства фирмы Sigma (C9791 в каталоге). Для проведения дейтеробмена применялся оксид дейтерия ( $D_2O$ ) с 99,84% изотопным замещением.

**Приготовление образцов для ИК Фурье спектроскопии.** Коллаген был растворен в количестве 2мг в 500мкл 10mM HCl при температуре 4°C и нейтрализован добавлением 347,45мкл буферной смеси, имеющей в своем составе: гидроксиметиламинометан, NaCl,  $KH_2PO_4/K_2HPO_4$  буфер и  $H_2O$ . После нейтрализации pH раствора составила 7,45. Из полученных растворов готовились пленки, которые помещались в герметичные кюветы с окошками из  $CaF_2$ . ИК Фурье спектры сухих и увлажненных пленок исследуемых веществ были получены при комнатной температуре. Полное высушивание пленки осуществлялось вакуумной откачкой кюветы с использованием азотной ловушки. Необходимая степень увлажнения пленок и их дейтерирование достигалась путем выдерживания пленок в течение нескольких суток в атмосфере паров насыщенных растворов различных солей в  $D_2O$  (NaCl для получения 76% OB и KCl для получения 86% OB) [9]. ИК Фурье спектры были получены с использованием спектральной установки на базе однолучевого вакуумируемого Фурье-спектрометра ФС-01, главные особенности которой были описаны ранее [10]. Как и в работе [11], была использована оптическая схема, позволяющая уменьшить оптический путь в атмосфере до 4 см. Это позволило минимизировать поглощение атмосферных паров воды и  $CO_2$ . Спектры пленок регистрировались в диапазоне 950-2700  $cm^{-1}$  с аподизированным разрешением 3,5  $cm^{-1}$ . Был использован светофильтр КВг и треугольная функция аподизации. Для минимизации шумов проводилось усреднение 2-4 серий спектров (32 скана в каждой серии). Из полученных спектров вычитался спектр флюоритовой кюветы сравнения и проводилась линейная коррекция базовой линии.

**Методика расчета частот отдельных компонентов полосы Амид I.** Для расчетов использовались координаты атомов следующих коллагеновых полипептидов:

- (Pro-Hyp Gly-)<sub>3</sub>-Ile-Thr-Gly-Ala-Arg-Gly-Leu-Ala-Gly-(Pro-Hyp-Gly)<sub>4</sub>, PDB код 1BKV, данная последовательность аминокислотных остатков присутствует в коллагене типа III [10],
- (Pro-Hyp Gly-)<sub>2</sub>-Gly-Phe-Hyp-Gly-Glu-Arg-(Pro-Hyp Gly-)<sub>3</sub>, PDB код 1DZI, эта аминокислотная последовательность найдена в коллагене типа I [11].

Оба политрипептида образуют трехспиральные коллаген-подобные структуры. Тип симметрий центральных пролин-дефицитных участков 10<sub>7</sub>, а периферических пролин-насыщенных - 7<sub>5</sub> [12, 13] угол вращения аминокислотных остатков относительно друг друга составляет 41,2° в центральных и 51,4° в периферических участках.

Алгоритм расчета частот валентных колебаний карбонильных групп в модельных коллагеновых структурах описан в работе [8]. При расчете частот компонентов полосы Амид I коллагена отдельные C=O - группы рассматривались как слабо связанные гармонические осцилляторы.

Согласно модели слабо связанных осцилляторов, рассмотренной Миядзвой в рамках теории возмущений для полипептидных структур [14, 15], частота карбонильных колебаний определяется так:

$$\nu(\delta, \delta') = \nu_0 + \sum D_s \cos s\delta + \sum D'_s \cos s\delta', \quad (1)$$

где  $\nu_0$  частота невозмущенного карбонильного колебания,  $\delta$  и  $\delta'$  - фазовые углы, на которые отличаются колебания соседних карбонильных групп по цепи и через водородную связь;  $D_s$  и  $D'_s$  - коэффициенты взаимодействия колебаний по цепи внутри молекулы и между молекулами соответственно. В основном значение коэффициента  $D_s$  для пептидных структур определяется динамическим резонансным взаимодействием электрических колебательных моментов переходов [16, 17, 18]. Теоретической основой расчета динамического резонансного взаимодействия электрических колебательных моментов переходов является теория молекулярных экситонов [19].

В диполь-дипольном приближении резонансный сдвиг частоты карбонильных колебаний выражается формулой [20]

## Исследование тонкой структуры полосы амид I ИК Фурье спектра коллагена

$$\Delta \nu_{pez} = \frac{1}{h} \sum_{nm} C_{\alpha}^f C_{\beta}^f v_{n\alpha, m\beta}, \quad (2)$$

где  $C_{\alpha}^f$  и  $C_{\beta}^f$  - коэффициенты симметрии для колебания с типом симметрии  $f$ ;  $m, n$  - числа, которые нумеруют элементарные ячейки;  $\alpha, \beta$  - числа, нумерующие карбонильные группы  $C=O$  в элементарной ячейке;  $v_{n\alpha, m\beta}$  - матричный элемент оператора диполь-дипольного взаимодействия моментов переходов, локализованных на двух карбонильных группах, который равен

$$v_{n\alpha, m\beta} = \frac{1}{\epsilon R_{n\alpha, m\beta}^3} \left[ \Delta \vec{\mu}_{n\alpha} \Delta \vec{\mu}_{m\beta} - \frac{3(\Delta \vec{\mu}_{n\alpha} \vec{R}_{n\alpha, m\beta})(\Delta \vec{\mu}_{m\beta} \vec{R}_{n\alpha, m\beta})}{\vec{R}_{n\alpha, m\beta}^2} \right], \quad (3)$$

где  $\Delta \vec{\mu}_{n\alpha}$  и  $\Delta \vec{\mu}_{m\beta}$  - векторы дипольных моментов переходов,  $\vec{R}_{n\alpha, m\beta}$  - вектор, направленный от центра диполя  $n\alpha$  к диполю  $m\beta$ ,  $\epsilon$  - эффективная диэлектрическая проницаемость.

Для неограниченной спирали активными являются полносимметричное колебание (поляризованное вдоль оси спирали) типа А и дважды вырожденное типа Е (поляризованное перпендикулярно оси спирали) [21]. В спектре комбинационного рассеяния сильные полосы соответствуют колебаниям типа А, а в ИК спектрах - колебаниям типа Е. С учетом резонансного взаимодействия карбонильных колебаний частота полосы с параллельной и перпендикулярной поляризацией определяются так [22]:

$$\nu_A = \nu_0 + \frac{2}{h} (\nu_{11,12} + \nu_{11,13} + \dots + \nu_{11,1k}), \quad (4)$$

$$\nu_E = \nu_0 + \frac{2}{h} (\nu_{11,12} \cos \varphi + \nu_{11,13} \cos 2\varphi + \dots + \nu_{11,1k} \cos k\varphi), \quad (5)$$

где  $k$  - число карбонильных групп в спиральной молекуле,  $\varphi$  - угол вращения карбонильных групп аминокислотных остатков относительно друг друга.

При этом невозмущенная частота  $\nu_0$ , определяется колебанием карбонильной группы в изолированной молекуле с учетом взаимодействия с окружением. В случае с молекулой коллагенового политрипептида частота  $\nu_0$  может быть представлена в виде:

$$\nu_0 = \nu_{iso} - \Delta \nu_{H-cs}, \quad (6)$$

где  $\nu_{iso}$  - частота карбонильного колебания в изолированном состоянии молекулы, в частности, в нейтральных растворителях, где отсутствует водородная связь,  $\Delta \nu_{H-cs}$  - сдвиг частоты карбонильного колебания за счет водородной связи. Резонансный сдвиг карбонильных колебаний типов А и Е рассчитывался внутри спиральной цепочки ( $\Delta \nu_{pez}^{sA}$ ,  $\Delta \nu_{pez}^{sE}$ ) и между спиральными цепочками ( $\Delta \nu_{pez}^{mA}$ ,  $\Delta \nu_{pez}^{mE}$ ) для ближайших карбонильных групп молекул политрипептидов. С учетом межцепочных резонансных взаимодействий и водородных связей, частота полос, поляризованных параллельно и перпендикулярно, может быть записана так:

$$\nu_A = \nu_{iso} - \Delta \nu_{H-cs} \pm \sum_1^k (\Delta \nu_{pez}^{sA} + \Delta \nu_{pez}^{mA}), \quad (7)$$

$$\nu_E = \nu_{iso} - \Delta \nu_{H-cs} \pm \sum_1^k (\Delta \nu_{pez}^{sE} + \Delta \nu_{pez}^{mE}), \quad (8)$$

Для расчета резонансных сдвигов карбонильных колебаний  $C_1O_1$ ,  $C_2O_2$  и  $C_3O_3$  использованы координаты атомов углерода, кислорода и азота кристаллической структуры трехспиральных коллагеновых пептидов  $(Gly-Pro-Hyp)_2-Gly-Phe-Hyp-Gly-Glu-Arg-(Gly-Pro-Hyp)_3$  и  $(Pro-Hyp Gly)_3-Ile-Thr-Gly-Ala-Arg-Gly-Leu-Ala-Gly-(Pro-Hyp-Gly)_4$  [12, 13].

Поскольку карбонильные колебания Амид I обладают высокой характеристичностью для всех пептидных структур, то центры диполей перехода можно локализовать в общей точке, которая находится на расстоянии 0,4 Å от атома кислорода в направлении O→N [16, 18] (рис. 2). Величины дипольных моментов переходов для связей  $C_1O_1$ ,  $C_2O_2$  и  $C_3O_3$  приняты равными 0,3 D, исходя из значения абсолютной интенсивности полосы поглощения Амид I  $4,1 \cdot 10^4 \text{ л} \cdot \text{моль}^{-1} \text{ см}^{-2}$  [4].

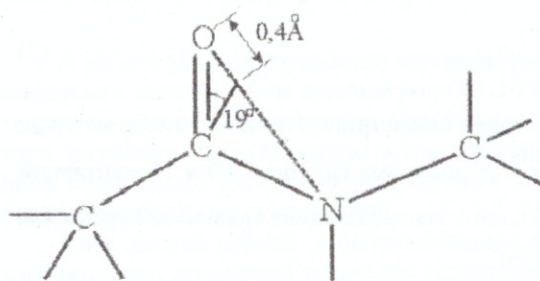


Рис. 2. Локализация центра электрического дипольного момента перехода колебания C=O – связи в полипептидных структурах [14, 16, 18].

По данным спектроскопии с использованием поляризованного ИК-излучения [14] известно, что вектор момента перехода карбонильного колебания лежит в плоскости пептидной группы и отклонен от направления связи C=O на угол 19°, что было учтено в расчетах (рис. 3). Эффективное значение диэлектрической постоянной  $\epsilon$  принималось равным 2, поскольку  $\epsilon \approx n^2$ , где  $n$  – показатель преломления и  $n \approx 1,5$  [16].

Расчет резонансного взаимодействия необходимо проводить с учетом карбонильных групп, расположенных внутри сферы радиусом 8 Å. При расширении радиуса взаимодействия наступает эффект насыщения [8]. В сферу взаимодействия попадают 4 карбонильные группы, расположенные в той же полипептидной цепи, что и исследуемая, и C=O – группы ближайших аминокислотных остатков соседних полипептидных цепей.

Величины частотных сдвигов, вызванных образованием водородных связей в коллагеновых белках, были рассчитаны в работе [8].

**Разложение контура полосы Амид I коллагена, полученного при ИК Фурье спектроскопии.** Полученные в результате расчета частоты отдельных компонентов полосы Амид I политрипептидов были взяты за основу для разложения контура полосы Амид I, полученного при ИК Фурье спектроскопии природного коллагена, с использованием программы оптимизации. При этом форма полос описывалась линейной комбинацией функций Гаусса и Лоренца [23]:

$$D(\nu) = f_G \cdot F_G + (1 - f_G) \cdot F_G = f_G \cdot D(\nu_0) \cdot e^{-\frac{-\lg 2 \cdot (\frac{2(\nu_0 - \nu)}{\Delta\nu_1})^2}{2}} + (1 - f_G) \cdot \frac{D(\nu_0)}{1 + (\frac{2(\nu_0 - \nu)}{\Delta\nu_1})^2}, \quad (9)$$

где  $\nu_0$  – частота максимума полосы поглощения,  $\Delta\nu_1$  – ширина полосы поглощения на  $\frac{1}{2}$  интенсивности в максимуме полосы поглощения,  $f_G$  – фактор Гаусса, показывающий вклад распределения Гаусса в описывающую контур функцию,  $D(\nu_0)$  – интенсивность в максимуме полосы поглощения. Оптимизация значений спектральных параметров отдельных полос осуществлялась методом деформируемого многогранника [24, 25] до достижения минимального значения  $\sum_{i=1}^n ((D(\nu_i)_{\text{эксп}} - D(\nu_i)_{\text{выч}})^2)$ , где

$D(\nu_i)_{\text{эксп}}$  и  $D(\nu_i)_{\text{выч}}$  – экспериментальные и вычисленные значения интенсивности поглощения при  $i$ -й частоте. Из контура полосы Амид I были вычленены полосы, соответствующие поглощению боковых аминокислотных радикалов аминокислот Arg, Phe, Asp, Glu [27].

При статистической обработке результатов рассчитывалось среднее значение (M) и среднеквадратичное отклонение от среднего (sd).

## РЕЗУЛЬТАТЫ И ОБСУЖДЕНИЕ

В полученном ИК Фурье спектре коллагена в диапазоне 900 – 1800  $\text{cm}^{-1}$  (рис. 3) можно выделить несколько характерных полос поглощения [14, 26, 27, 28]:

- область 1000–1100  $\text{cm}^{-1}$  – скелетные колебания C-C и C-N групп, внеплоскостные колебания CH<sub>2</sub>, CH<sub>3</sub> групп;
- 1206 – деформационные колебания группы OD;
- область 1230–1260  $\text{cm}^{-1}$  – полоса Амид III (результат резонансного взаимодействия деформационного колебания группы NH и валентного колебания CN недейтерированных пептидных групп коллагена);
- 1340  $\text{cm}^{-1}$  – деформационные колебания группы CCH;
- 1414  $\text{cm}^{-1}$  – деформационные колебания группы CH<sub>2</sub> глицина;
- 1461  $\text{cm}^{-1}$  – деформационные колебания групп CH<sub>3</sub> и CH<sub>2</sub>, полоса Амид II'.

## Исследование тонкой структуры полосы амид I ИК Фурье спектра коллагена

- область 1530-1590  $\text{cm}^{-1}$  - полоса Амид II (результат резонансного взаимодействия деформационного колебания группы NH и валентного колебания CN недейтерированных пептидных групп коллагена), потемнение атомов боковых радикалов аминокислот Arg, Phe, Asp, Glu;
- 1650  $\text{cm}^{-1}$  - полоса Амид I.

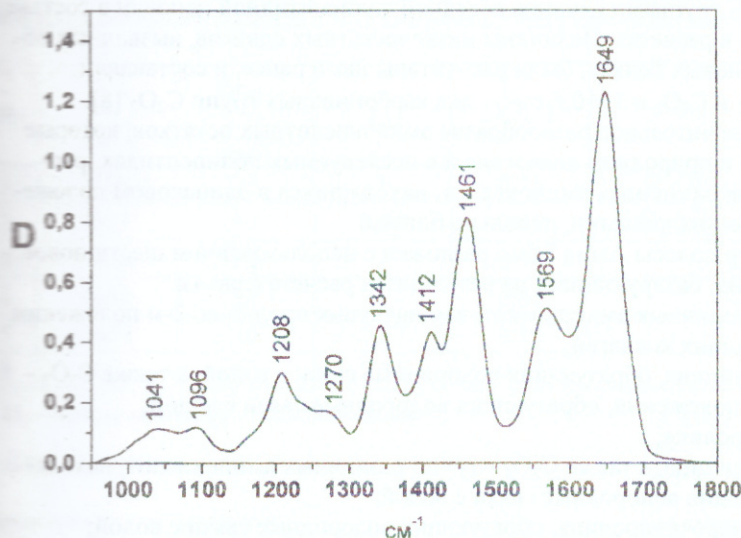


Рис. 3 ИК Фурье спектр коллагена (пленка, 86% ОВ в атмосфере  $\text{D}_2\text{O}$ )

С использованием координат атомов углерода, кислорода и азота кристаллической структуры трехспиральных коллагеновых пептидов ( $\text{Gly-Pro-Hyp})_2\text{-Gly-Phe-Hyp-Gly-Glu-Arg-(Gly-Pro-Hyp)}_3$  и  $(\text{Pro-Hyp Gly})_3\text{-Ile-Thr-Gly-Ala-Arg-Gly-Leu-Ala-Gly-(Pro-Hyp-Gly})_4$  по формуле (2) были рассчитаны частотные сдвиги, вызванные резонансным взаимодействием карбонильных колебаний. Расчет проведен для колебаний типа E, которые соответствуют сильным полосам в ИК спектрах.

По формуле (8) были рассчитаны частоты колебания карбонильных групп различных амино- и иминокислот, входящих в состав коллагена (Таб. 2).

Таб. 1. Рассчитанные частоты карбонильных колебаний  $\text{C}_1\text{O}_1$ ,  $\text{C}_2\text{O}_2$  и  $\text{C}_3\text{O}_3$  -групп коллагеновых полипептидов  $(\text{Pro-Hyp Gly})_2\text{-Gly-Phe-Hyp-Gly-Glu-Arg-(Pro-Hyp Gly})_3$  и  $(\text{Pro-Hyp Gly})_3\text{-Ile-Thr-Gly-Ala-Arg-Gly-Leu-Ala-Gly-(Pro-Hyp-Gly})_4$ . Рассчитанные для каждого из карбонилов  $\text{C}_n\text{O}_n$  значения частот колебаний усреднены для одинаковых аминокислотных остатков. Данные в таблице представлены в виде: среднее  $M \pm sd$

Колебат. группы	АК <sup>1</sup>	$\nu_{iso}^{2,3}$ , ( $\text{cm}^{-1}$ ) эксперим. [4]	$-\Delta\nu_{H-pept}^{3,4}, -\Delta\nu_{H-H_2O}^{4}$ ( $\text{cm}^{-1}$ )	$-\Delta\nu_{pes}^E$ <sup>5</sup> ( $\text{cm}^{-1}$ )	$\nu_{H-pept}^E, \nu_{H-H_2O}^E$ <sup>6,7</sup> ( $\text{cm}^{-1}$ )	$\nu^E$ <sup>8</sup> ( $\text{cm}^{-1}$ )
$\text{C}_1\text{O}_1$	Gly	1660	$24 \pm 0,7$	$-10 \pm 3,3$	$1626 \pm 4,0$	$1650 \pm 3,3$
$\text{C}_2\text{O}_2$	Pro	1693	$37 \pm 0,5$	$-12 \pm 4,0$	$1644 \pm 4,5$	-
	Ile	1660	$37 \pm 0,5$	$-13 \pm 0,4$	$1610 \pm 0,9$	-
	Leu	1660	$37 \pm 0,5$	$-16 \pm 1,0$	$1607 \pm 1,5$	-
	Ala	1660	$37 \pm 0,5$	$-15 \pm 0,9$	$1608 \pm 1,4$	-
	Phe	1660	$37 \pm 0,5$	$-14 \pm 1,8$	$1609 \pm 2,3$	-
	Glu	1660	$37 \pm 0,5$	$-16 \pm 1,4$	$1607 \pm 1,9$	-
$\text{C}_3\text{O}_3$	Hyp	1698	$24 \pm 0,7$	$-10 \pm 3,8$	$1664 \pm 4,5$	$1688 \pm 3,8$
	Thr	1660	$24 \pm 0,7$	$-10 \pm 0,3$	$1626 \pm 1,0$	$1650 \pm 0,3$
	Arg	1660	$24 \pm 0,7$	$-11 \pm 1,3$	$1625 \pm 2,0$	$1649 \pm 1,3$
	Ala	1660	$24 \pm 0,7$	$-12 \pm 0,5$	$1624 \pm 1,2$	$1648 \pm 0,5$

<sup>1</sup> АК – название аминокислотного остатка;

<sup>2</sup>  $\nu_{iso}$  - частота карбонильного колебания в изолированном состоянии молекулы;

<sup>3,4</sup>  $\Delta\nu_{H-pept}, \Delta\nu_{H-H_2O}$  - сдвиг частоты карбонильного колебания в результате образования межпептидной водородной связи и водородной связи с водой;

<sup>5</sup>  $\Delta\nu_{pes}^E$  - резонансный сдвиг карбонильных колебаний типа E;

<sup>6,7,8</sup>  $\nu_{H-pept}^E, \nu_{H-H_2O}^E$  - рассчитанная частота карбонильных колебаний типа E для групп, не образующих водородные связи и групп образующих водородные связи с  $\text{N}_1\text{H}_1$  - группами и с водой соответственно.

При этом определялись частоты колебания карбонильных групп  $C_1O_1$  и  $C_3O_3$  в двух различных состояниях: при образовании ими водородных связей с растворителем (в данном случае с  $D_2O$ ) и в несвязанном состоянии, так как в природном коллагене отсутствие или наличие водородных связей с растворителем может зависеть от того, располагается ли данная карбонильная группа во внутренней или в наружной части фибриллы. В то же время все карбонильные группы  $C_2O_2$  в коллагеновых белках образуют межпептидные водородные связи с  $NH_2$  – группами глицина соседней полипептидной цепочки в составе тройной спирали. Это также было учтено в расчетах. Величины низкочастотных сдвигов, вызванных образованием водородных связей в коллагеновых белках, были рассчитаны нами ранее, и составляли  $24 \pm 0,7 \text{ cm}^{-1}$  для карбонильных групп  $C_1O_1$  и  $C_3O_3$  и  $37 \pm 0,5 \text{ cm}^{-1}$  – для карбонильных групп  $C_2O_2$  [8].

Можно отметить, что, несмотря на значительное разнообразие аминокислотных остатков, которые могут замещать иминокислоты Pro и Hyp в природном коллагене и в исследуемых полипептидах, рассчитанные частоты колебаний карбонилов различных аминокислот, находящихся в одинаковом положении в трипептидах -(Gly-X-Y)-, составляющих коллаген, довольно близки.

Учитывая это обстоятельство, контур полосы Амид I был разложен с использованием шести полос, каждая из которых имела четкие отнесения, базирующиеся на результатах расчета (рис.4):

- 1) валентные колебания  $C_2O_2$  – групп различных аминокислот, замещающих пролин во 2-м положении в трипептидах -(Gly-X-Y)-, составляющих коллаген;
- 2) валентные колебания  $C_1O_1$  – групп глицина, образующих водородные связи с водой, а также  $C_3O_3$  – групп различных аминокислот в 3-м положении, образующих водородные связи с водой;
- 3) валентные колебания  $C_2O_2$  – групп пролина;
- 4) валентные колебания  $C_1O_1$  – групп глицина, а также  $C_3O_3$  – групп различных аминокислот, находящихся в 3-м положении и не образующих водородные связи с водой;
- 5) валентные колебания  $C_3O_3$  – групп гидроксипролина, образующих водородные связи с водой;
- 6) валентные колебания  $C_3O_3$  – групп гидроксипролина, не образующих водородные связи с водой.

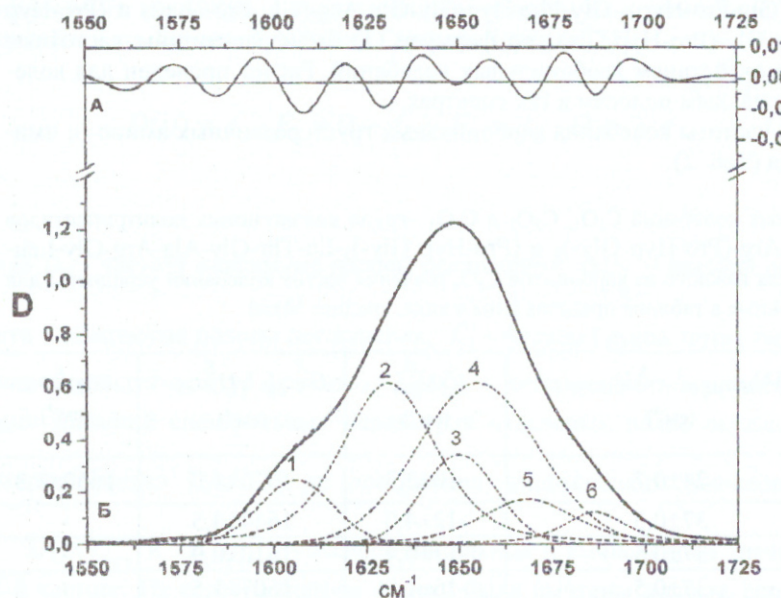


Рис.4. Разложение контура полосы Амид I ИК спектра коллагена (пленка в условиях 86% ОВ в атмосфере паров  $D_2O$ ):

А) невязка между экспериментальным контуром полосы Амид I ИК спектра коллагена и контуром, полученным в результате сложения отдельных компонент;

Б) сплошная линия – контур полосы Амид I ИК Фурье спектра коллагена; штриховая линия – контур полосы Амид I, полученный в результате суммирования элементарных полос; штрих-пунктирная линия – компоненты полосы (расчет + оптимизация).

Хорошо известно, что при разложении сложного контура большим количеством полос, результаты разложения получаются неоднозначными. В данной работе количество полос и положение максимума каждой из них выбирались на основании результатов расчетов. При этом величина варьирования частоты максимума полосы поглощения составляла  $\pm 2 \text{ sd}$ . Свободно варьируемыми параметрами в процессе оптимизации выступали интенсивность в максимуме полосы; величина фактора Гаусса и полуширина полосы поглощения. В процессе оптимизации спектральных параметров компонент полосы Амид I была минимизирована невязка между экспериментальным контуром и контуром, полученным в результате сложения компонент полосы Амид I. Из рис. 3 видно, что контур полосы Амид I природного коллагена можно удовлетворительно разложить полосами, частоты максимумов которых были рассчитаны с использованием разработанного алгоритма. Спектральные параметры полученных полос и их отнесение отражены в таб. 2.

Учитывая, что при близких коэффициентах экстинкции исследуемых групп, соотношение интегральных интенсивностей соответствующих полос поглощения в ИК спектре позволяет судить об их процентном соотношении в исследуемом образце, была сделана оценка соотношения амино- и иминокислот в коллагене по интегральным интенсивностям компонент, полученных в результате разложения кон-

## Исследование тонкой структуры полосы амид I ИК Фурье спектра коллагена

тура полосы Амид I. Соотношение (аминокислоты:ПроНур) коллагена по результатам расчета составило 76%:12%:12%, что близко к такому соотношению, определенному химическими методами 79%:12%:10% [29].

Таб. 2. Спектральные параметры и отнесения компонент полосы Амид I ИК Фурье спектра коллагена в условиях 86% относительной влажности в D<sub>2</sub>O, полученные при разложении контура полосы на составляющие.

№	$\nu_0$ <sup>1</sup> (см <sup>-1</sup> )	$\Delta\nu_1$ <sup>2</sup> 2 (см <sup>-1</sup> )	$f_G$ <sup>3</sup>	$D(\nu_0)$ <sup>4</sup>	Отнесение
1	1606	23	1	0,25	C <sub>2</sub> O <sub>2</sub> (Ile <sub>H-pept</sub> <sup>5</sup> , Ala <sub>H-pept</sub> , Leu <sub>H-pept</sub> , Phe <sub>H-pept</sub> , Glu <sub>H-pept</sub> )
2	1631	31	0,61	0,61	C <sub>1</sub> O <sub>1</sub> (Gly <sub>H-H2O</sub> <sup>6</sup> ), C <sub>3</sub> O <sub>3</sub> (Thr <sub>H-H2O</sub> , Arg <sub>H-H2O</sub> , Ala <sub>H-H2O</sub> )
3	1650	24	1	0,34	C <sub>2</sub> O <sub>2</sub> (Pro <sub>H-pept</sub> )
4	1655	38	1	0,61	C <sub>3</sub> O <sub>3</sub> (Thr, Arg, Ala), C <sub>1</sub> O <sub>1</sub> (Gly)
5	1668	30	0,57	0,17	C <sub>3</sub> O <sub>3</sub> (Hyp <sub>H-H2O</sub> )
6	1686	20	0,31	0,12	C <sub>3</sub> O <sub>3</sub> (Hyp)

<sup>1</sup>  $\nu_0$  - частота максимума полосы поглощения

<sup>4</sup>  $D(\nu_0)$  – интенсивность в максимуме полосы поглоще-

<sup>2</sup>  $\Delta\nu_1$  – ширина полосы поглощения на ½ интенсивности в  
2  
максимуме полосы поглощения

ния

<sup>3</sup>  $f_G$  - фактор Гаусса, показывающий вклад распределения  
Гаусса в описывающую контур функцию

<sup>5</sup> H-pept – аминокислота образует межпептидную водород-

ную связь с N<sub>H</sub> – группой глицина соседней полипептид-

ной цепочки в составе тройной спирали

<sup>6</sup> H-H<sub>2</sub>O – аминокислота образует водородную связь с водой

Современная молекулярная биология требует методик, позволяющих исследовать структурные изменения в белковых структурах, вызванные различными факторами. Такие методики должны быть достаточно чувствительны к конформационным изменениям белков и малоинвазивны, а также применимы для исследования белков в водном окружении. Такими достоинствами вполне обладает ИК Фурье спектроскопия. В настоящее время ведутся экспериментальные и теоретические работы по исследованию соответствия между ИК Фурье спектрами и различными типами вторичных белковых структур [30, 31]. Рассмотренная в работе методика может стать основой для исследования методом ИК Фурье спектров конформационного состояния трехспиральных коллагеновых структур.

## ВЫВОДЫ

Таким образом, расчет компонент полосы Амид I, учитывающий гетерогенность карбонильных групп аминокислотных остатков, входящих в состав коллагена, особенности структуры сетки водородных связей различных участков коллагеновых фибрill, а также резонансные частотные сдвиги карбонильных колебаний, позволяет объяснить тонкую структуру полосы Амид I ИК-спектра природного коллагена и сделать отнесения компонент, составляющих данную полосу.

## ЛИТЕРАТУРА

1. Rainey J.K., Goh M.C. A statistically derived parameterization for the collagen triple-helix. //Protein Science. 2002. V.11, pp. 2748–2754.
2. Гришковский Б.А., Хромова Т.Б., Гречишко В.С., Лазарев Ю.А. Формирование гидратной структуры тройной спирали коллагенового типа при гидратации. //Молекулярная биология. 1991. Т. 25, вып.1, с. 77-82.
3. Berisio R., Vitagliano L., Mazzarella L., Zagari A. Crystal structure of the collagen triple helix model [(PRO-PRO-GLY)10]3. //Protein Sci. 2002. V.11. pp. 262-270.
4. Lazarev Yu. A. Chishkovsky B. A., Chromova T. B. Amid I band of IR spectrum and structure of collagen and related polypeptides. //Biopolymers, 1985. V.24. N.7. pp.1449-1478.
5. Nevskaya N.A., Chirgadze Yu.N. Infrared spectra and resonance interactions of Amide I and II vibrations of  $\alpha$ -helix. //Biopolymers. 1976. V. 15. pp. 636-648.
6. Nevskaya N.A., Chirgadze Yu.N. Infrared spectra and resonance interactions of Amide I vibration of the parallel-chain pleated sheet. //Biopolymers. 1976. V. 15. pp. 627-636.
7. Krimm S., Bandakar J. Vibrational spectroscopy and conformation of peptides, polypeptides, and proteins. //Adv. Protein Chem. 1986. V. 38. pp. 181-364.
8. Мележик Е.П., Семенов М.А. Резонансные взаимодействия карбонильных колебаний в коллагеновых структурах. Е. П. //Біофізичний вісник. 2003. №606. Вип.2 (13). с. 62-68.

Е.П. Мележик, М.А. Семенов, А.Ю. Иванов

---

9. Воронец Д., Козич Д. Влажный воздух: термодинамические свойства и применение. - М.: Энергоатомиздат, 1984. - 136 с.
10. Ivanov A.Yu., Plokhotnichenko A.M., Radchenko E.D., Sheina G.G. and Blagoi Yu.P. FTIR spectroscopy of uracil derivatives isolated in Kr, Ar and Ne matrices: matrix effect and Fermi resonance. //J. Mol. Struct. 1995. V. 372. pp. 91-100
11. Ivanov A.Yu., Metelkina M.K., Onyshchenko V.V., Blagoi Yu.P. The FTIR spectra and structures of Poly(rA)\* Poly(rU)-Mg<sup>2+</sup> complexes at different temperatures in D<sub>2</sub>O solutions. //Біофізичний вісник. № 637. Вип. 1-2 (14). с. 16-23.
12. Kramer R.Z., Bella J., Mayville P., Brodsky B., Berman H.M. Sequence dependent conformational variations of collagen triple-helical structure. //Nature Structural Biology. 1999. V. 6. N. 5. pp. 454-457.
13. Emsley J., Knight C.G., Farndale R.W., Barnes M.J., Liddington R.C. Structural basis of collagen recognition by integrin a2b1 //Cell. 2000. V. 100. pp. 47-56.
14. Элиот А. Инфракрасные спектры и структура полимеров. - М.: Мир, 1972.
15. Miyazawa T.J. Perturbation treatment of the characteristic vibrations of polypeptide chains in various configurations //J. Chem. Phys. 1960. V.32. pp. 1647-1652.
16. Чиргадзе Ю.Н. Инфракрасная спектроскопия полимеров и белков. //Итоги науки и техники. Молекулярная биология. Т.1. Москва 1973.
17. Krimm S and Abe Y. Intermolecular interaction effects in the Amide I vibrations of  $\beta$  polypeptides. //Proc. Nat. Acad. Sci. USA. 1972. V.69. N.10. pp. 2788-2792.
18. Чиргадзе Ю.Н., Невская Н.А. Резонансные взаимодействия основных амидных колебаний в упорядоченных пептидных структурах. //Докл. АН СССР. 1973. Т.208. №2. с. 447-450.
19. Давыдов А.С. Теория поглощения света в молекулярных кристаллах. - Киев, изд-во АН УССР, 1951.
20. Семенов М.А., Больбух Т.В. Резонансные взаимодействия карбонильных колебаний в спиральных полипептидах. Препринт № 190, изд-во ИРЭ АН УССР, Харьков, 1982, с. 28.
21. Грибов Л.А. Теория инфракрасных спектров полимеров. - М.: Наука, 1977.
22. Semenov M.A., Berezhnyak E.G. Hydration and stability of nucleic acids in the condensed state. //Comments Mol. Cel. Biophys, 2000. V.10. N.1. pp. 1-23.
23. Eraser R.D.B., Suzuki E. Resolution of overlapping bands: functions for simulating band shapes //Anal.Chem. 1969. V. 1. pp. 37-41.
24. Химмельблау Д. Прикладное нелинейное программирование. - М.: Мир, 1975. - 534 с.
25. Semenov M.A., Starikov E.B. On infrared spectroscopic analysis of transfer RNA secondary structure //Studia biophysica. 1987. V. 120. N. 2. pp. 187-196
26. Veis A. Brownell A.G. Triple-helix formation on ribosome-bound nascent chains of procollagen: Deuterium-hydrogen exchange studies. //Proc. Natl. Acad. Sci. USA. 1977. V. 74. N. 3. pp. 902-905.
27. Chirgadze Y.N., Fedorov O.V., Trushina N.P. Estimation of amino acid residue side-chain absorption in the infrared spectra of protein solutions in heavy water //Biopolymers. 1975. V. 14. pp. 679-694.
28. Frank S. Parker. Applications of infrared, Raman and resonance Raman spectroscopy in biochemistry. - New York: Plenum press. - 1983. - 550 p.
29. Chien J.C.W. Solid-state characterization of the structure and property of collagen. //J Macromol Sci Rev Macrob Chem. 1972. V. 1. pp. 49-104.
30. Heimburg T., Esmann M., Marsh D. Characterization of the secondary structure and assembly of the transmembrane domains of trypsinized Na,K-ATPase by Fourier transform infrared spectroscopy. //The Journal of Biological Chemistry. 1997. V. 272. N. 41. pp. 25685-25692.
31. Brauner J.W., Flach C.R., Mendelsohn R.A. Quantitative reconstruction of the Amide I contour in the IR spectra of globular proteins: from structure to spectrum. //J. Am. Chem. Soc. 2005. V. 127. pp. 100-109.